

ГЛУБОКИЕ УРОВНИ ТЕРМОДЕФЕКТОВ В ВЫСОКООМНОМ ОСОБО ЧИСТОМ n -КРЕМНИИ

Е. М. Вербицкая, В. К. Еремин, А. М. Иванов, Н. Б. Строкан

Физико-технический институт им. А. Ф. Иоффе Российской академии наук,
194021, Санкт-Петербург, Россия

(Получена 20.05.1992. Принята к печати 4.06.1992)

Проведено сравнение термостабильности Si, выращенного методами зонной плавки и Чохральского и, следовательно, отличающегося содержанием кислорода и углерода. Применяемые режимы относятся к слабо изученному диапазону температур ($\leq 1000^{\circ}\text{C}$) и малых длительностей воздействия (от 1+2 ч до десятков мс). Спектры глубоких уровней исследовались методом DLTS.

Установлено, что при одиночных воздействиях при $T \geq 900^{\circ}\text{C}$ формируются 3 основных глубоких уровня: $DL1$ ($E_c - 0.55$ эВ, $\sigma_n = 3 \cdot 10^{-15} \text{ см}^2$); $DL2$ [$E_c - 0.45$ эВ, $\sigma_n = 6 \cdot 10^{-16} \text{ см}^2$]; $DL3$ ($E_c - 0.40$ эВ, $\sigma_n = 1.10^{-12} \text{ см}^2$).

Образование $DL1$ и $DL2$ носит конкурентный характер. Так, для Si, полученного зонной плавкой, основным является $DL2$, который трансформируется в $DL1$ с увеличением T либо с увеличением времени воздействия. В Si, полученным по Чохральскому, доминирует $DL1$.

Проведение цикла, характерного для планарной технологии получения $p^+ - n - p^+$ -структур, приводит к стабильному формированию $DL1$ для обоих типов Si. Природу $DL1$ можно объяснить в рамках модели глубокого центра с отрицательной корреляционной энергией типа реконструированного межузельного атома Si.

Проблема термических дефектов в кремнии неоднократно обсуждалась в литературе. Однако большинство исследований было связано с задачами микроэлектроники, поэтому изучалось поведение при термообработках сравнительно низкоомных материалов.

В последние годы разработаны марки чистого Si с удельным сопротивлением 1+10 кОм·см. Такой Si (как правило, n -типа) служит для конструирования приборов сильноточной электроники, детекторов ядерных излучений и фотодетекторов. В случае детектирования жестких излучений малая концентрация примесей позволяет получить требуемую ширину рабочей зоны (~ 0.3 мм) уже при обратных напряжениях ~ 100 В.¹

Важным следствием является возможность повышения отношения сигнал—шум как $(1/C^2 I)^{1/4}$. Здесь емкость C мала из-за протяженности рабочей зоны. Реализация малых обратных токов является актуальной технологической задачей, сложность которой усугубляется недостаточной термостабильностью высокоменного Si.

Напомним, что общепринятый технологический цикл схематически сводится к трем процессам [^{1, 2}]: термическое окисление; формирование p^+ - и n^+ -слоев методами либо диффузии, либо ионной имплантации с последующим отжигом; создание металлических контактов. Чувствительность высокоомного кремния к

¹ Релятивистские частицы производят на пути 0.3 мм в Si $3 \cdot 10^4$ неравновесных пар электрон—дырка. Величина возникающего при этом электрического сигнала достаточна для обработки и анализа быстродействующей электроникой.

термическим воздействиям вынуждает смещаться в область относительно низких температур (<1000 °C) и длительностей процессов не более 2±3 ч.

С позиций материаловедения специфика указанного температурно-временного диапазона изучена сравнительно мало, в особенности для кремния, получаемого зонной плавкой FZ-Si. Имеющиеся данные [³] в основном относятся к дефектам структуры монокристалла. Вместе с тем в приборах важно знать полную систему электрически активных центров. Последние определяют процессы генерации-рекомбинации и, следовательно, обратный ток и эффективность переноса неравновесного заряда. Изучение системы термодефектов в указанных выше условиях и являлось задачей работы.

Методика эксперимента

Исследование глубоких центров (ГЦ) проводилось методом DLTS (частота зондирующего сигнала 100 кГц) в температурном диапазоне 77—320 К. Программа записи DLTS-спектров на ЭВМ позволяла одновременно накапливать до 10 спектров, отличающихся временами стробирования и напряжениями заполнения. Обработка результатов производилась по методике, предложенной в [⁴]. С учетом температурного хода сечения захвата $\sigma \sim T^{-2}$ [⁵] зависимости Аррениуса строились в координатах $\ln \tau = f(1/kT)$ и обрабатывались методом наименьших квадратов.

Уровень шумов установки не превышал 10^{-2} пФ, что при типичных значениях емкости образцов ≈ 40 пФ дает погрешность в определении концентрации глубоких центров $7 \cdot 10^8 \text{ см}^{-3}$.

В качестве выпрямляющего барьера (исключая случай готовых $p^+ - n$ -структур) использовался барьер металл—полупроводник. При его получении нагрев образцов не превышал 150 °C, что практически исключало воздействие на свойства исследуемого материала.

Экспериментальные результаты

Прежде всего отметим, что исходные материалы действительно относились к разряду чистых и не содержали глубоких центров в концентрации $> 10^9 \text{ см}^{-3}$. Независимо от типа исходного Si для образцов, подвергнутых отдельным термическим воздействиям, во многих спектрах наблюдалось несколько пиков, достаточно хорошо разделенных на температурной оси. Однако даже в наихудшем варианте, наблюдаемом на кремнии, полученном методом Чохральского (CZ-Si) с $\rho \approx 0.5 \text{ кОм} \cdot \text{см}$, суммарная концентрация ГЦ не превышала 5±10% от N_0 (N_0 — разностная концентрация ионизованных примесей в исходном Si), т. е. деградации материала не происходило. Различия спектров DLTS для двух типов Si состоят в следующем.

Одиночные воздействия

а) Для FZ-Si при $T = 900\text{--}1000$ °C формируются два доминирующих по концентрации ГЦ: $DL1$ ($E_c = 0.55$ эВ, $\sigma_n = 3 \cdot 10^{-15} \text{ см}^2$) и $DL2$ ($E_c = 0.45$ эВ, $\sigma_n = 6 \cdot 10^{-16} \text{ см}^2$) (рис. 1, а, б). Их образование носит конкурентный характер (табл. 1) и определяется температурой и длительностью воздействия. Некоторую специфику привносит исходный материал.

Наибольшее число дефектов связано с уровнем $DL2$, который образуется уже при 450±500 °C, концентрация — $< 2 \cdot 10^{10} \text{ см}^{-3}$. При повышении температуры отжига до 900 °C (среднетемпературный отжиг) реализуется максимальное зна-

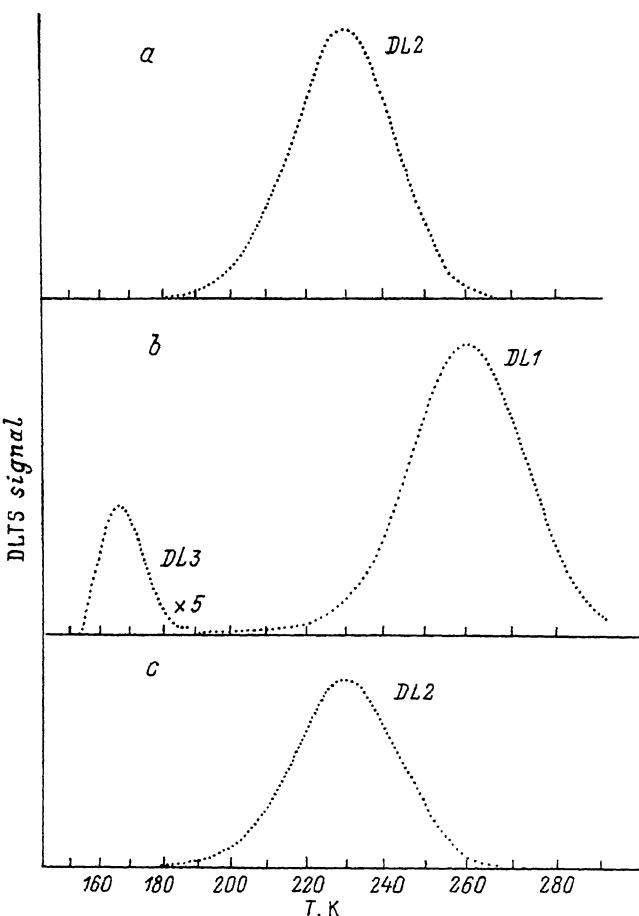


Рис. 1. Спектры DLTS Si, полученного зонной плавкой и подвергнутого различным воздействиям.
а — термическое окисление; б — фотонный отжиг длительностью в десятки; в — термическое окисление + фотонный отжиг.

чение концентрации $\sim 4 \cdot 10^{11} \text{ см}^{-3}$. Однако при отжиге в окислительной атмосфере содержание центров не превышает $2 \cdot 10^{10} \text{ см}^{-3}$.

Воздействие при 1000°C или более высокой температуре, например, в случае фотонного отжига длительностью несколько десятков секунд, приводит к образованию ГЦ *DL1*, наблюдаемого в зависимости от марки *FZ-Si* либо в виде плеча пика *DL2*, либо в виде доминирующего ГЦ в спектре (рис. 1, б).

б) Для *CZ-Si* условия, при которых ГЦ *DL1* становится доминирующим, сдвинуты в область меньших значений температуры или длительности воздействия (табл. 1). Так, в случае окисления, как правило, основным является *DL1* [$N = (1+3) \cdot 10^{11} \text{ см}^{-3}$ согласно рис. 2, а]. Наряду с этим возможно существование и *DL2*, но в меньшей концентрации. Как и для *FZ-Si*, наибольшая концентрация основных уровней *DL1*, равная $8 \cdot 10^{11} \text{ см}^{-3}$, наблюдается в случае отжига при 900°C в Ar. В то же время при низких температурах отжига (аналогично *FZ-Si*) образуется уровень *DL2*.

Необходимо отметить, что к характерным для обоих материалов ГЦ следует отнести *DL3* с параметрами: $E = E_c - 0.4 \text{ эВ}$, $\sigma_b = (0.3+3) \cdot 10^{-12} \text{ см}^2$. Данный уровень с аномально большим сечением захвата формируется как при среднетем-

Таблица 1
Образование ГЦ при термических воздействиях

Воз- действие	Режимы			<i>DL1</i> $E_c = 0.55 \text{ эВ}$, $\sigma_a = 3 \cdot 10^{-15} \text{ см}^2$		<i>DL2</i> $E_c = 0.45 \text{ эВ}$, $\sigma_a = 6 \cdot 10^{-16} \text{ см}^2$		<i>DL3</i> $E_c = 0.4 \text{ эВ}$, $\sigma_a = 1 \cdot 10^{-13} \text{ см}^2$	
	<i>T, °C</i>	время	среда	<i>FZ</i>	<i>CZ</i>	<i>FZ</i>	<i>CZ</i>	<i>FZ</i>	<i>CZ</i>
ФО	1100	10÷30 мс 30÷100 с	Воздух	—	+	+	?	—	+
ТО	1000	2÷3 ч	$O_2 + XCA$	+	?	?	—	—	+
	950	2÷3 ч		—	+	+	?	—	?
СТО	900	30 мин	Ar	—	+	+	—	+	+
НТО	500	30 мин	N_2	—	—	+	—	—	—
	450	30 мин	N_2	—	—	+	—	—	—
	450	30 мин	Ar	—	—	—	+	—	—
	400	30 мин	N_2	—	—	—	—	—	—

Примечание. ФО — фотонный отжиг, ТО — термоокисление, СТО — среднетемпературный отжиг, НТО — низкотемпературный отжиг, XCA — хлорсодержащая атмосфера; ? — возникновение ГЦ носит случайный характер.

пературном отжиге, так и при фотонном отжиге длительностью более 1 мин, концентрация составляет $(3 \div 5) \cdot 10^{10} \text{ см}^{-3}$ для *FZ-Si* и приблизительно на порядок больше в *CZ-Si*.

Комбинированные воздействия

Отличия двух типов материалов в образовании ГЦ более отчетливо наблюдаются при проведении комбинированных отжигов. В основном нами исследовались варианты, когда первым этапом являлось термическое окисление, что соответствовало реальному циклу изготовления детекторов.

а) В *FZ-Si* спектр DLTS содержит лишь один пик, соответствующий уровню *DL2*. Это наблюдалось даже в тех комбинациях термических воздействий, где каждый отдельный процесс давал различные уровни (*DL1* или *DL2*, рис. 1, c). При этом концентрация *DL2* уменьшалась в 2÷3 раза по сравнению с отдельными стадиями.

б) При воздействиях на *CZ-Si* (в том числе и таких, где окисление не проводилось) доминирующим являлся ГЦ *DL1*. В то же время *DL2* практически не наблюдался (рис. 2, c). Исключение составляла комбинация ФО+СТО, где кроме *DL1* происходило формирование еще трех уровней с близкими энергиями активации: $E_c = 0.38 \text{ эВ}$, $\sigma_a = 4 \cdot 10^{-14} \text{ см}^2$; $E_c = 0.39 \text{ эВ}$, $\sigma_a = 2 \cdot 10^{-16} \text{ см}^2$ и *DL2*. Необходимо отметить, что для *CZ-Si* характерно появление и более мелких уровней с энергией активации $< 0.3 \text{ эВ}$.

Общим свойством спектров DLTS является то, что их структура при комбинированных воздействиях не сводится к суперпозиции спектров, характерных для отдельных стадий.

Исследование ГЦ в планарных детекторных структурах

Формирование планарных структур связано, помимо термических воздействий, с созданием n^+ - и p^+ -слоев методами либо диффузии, либо ионной имплантации с последующим отжигом. Для установления их индивидуального влияния проводилось сравнение спектров DLTS структур на основе *CZ-Si*, содержащих и не содержащих высоколегированные слои. Влияние n^+ -слоя, сформированного на начальном этапе изготовления структуры, проявлялось в

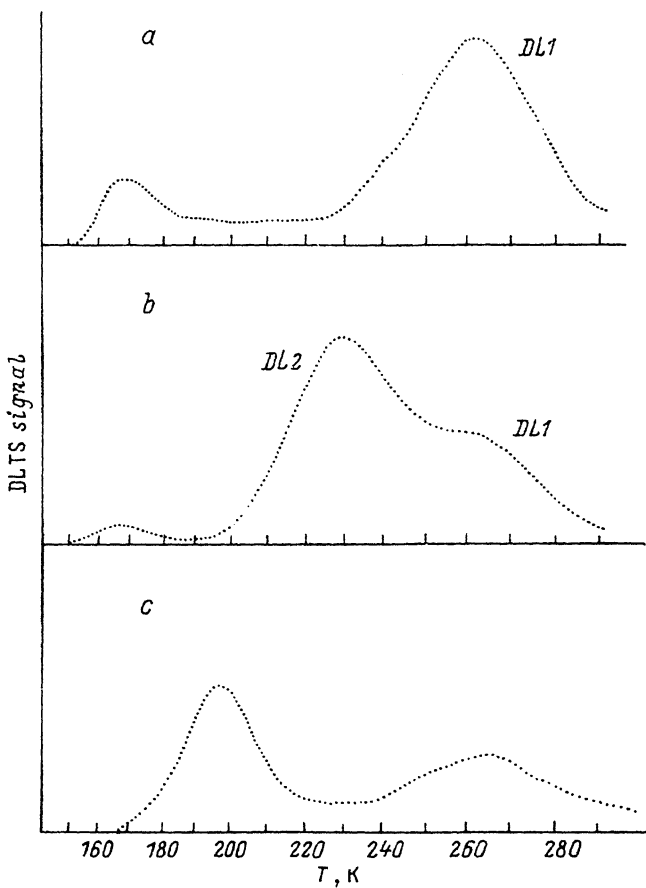


Рис. 2. Спектры DLTS Si, полученного методом Чохральского и подвергнутого различным воздействиям. а — термическое окисление; б — фотонный отжиг длительностью более 1 мин; в — термическое окисление + фотонный отжиг.

уменьшении концентрации ГЦ *DL1* (в 3÷10 раз), т. е. его геттерировании. Создание p^+ -слоя на конечном технологическом этапе приводило к геттерированию этих уровней вблизи поверхности (рис. 3), однако в целом концентрация *DL1* несколько возрастила. Последний результат получен путем изменения спектров при такой вариации напряжений обеднения и заполнения, чтобы обеспечить шаг по глубине ~ 5 мкм. Спектры более мелких уровней не имели характерной картины.

В общем случае в готовой планарной структуре образование ГЦ *DL1* происходит независимо от типа и марки исходного *n*-Si (табл. 2). Однако их концентрация, во-первых, существенно зависит от набора и последовательности термических воздействий (что в принципе позволяет оптимизировать технологию изготовления приборов). Вторым фактором является способ выращивания высокомоного Si. В итоге в исследованных приборах концентрация *DL1* составляла: *FZ* (отечественный) — $< 3 \cdot 10^9$; *FZ* (зарубежный) — $(1+5) \cdot 10^9 \text{ см}^{-3}$; *CZ* (зарубежный) — $(0.8 \div 2) \cdot 10^{10} \text{ см}^{-3}$.

Уровень *DL2* не наблюдался в приборах на основе *FZ-Si*, хотя применялись воздействия, стабильно формирующие данный ГЦ в материале. В структурах на основе *CZ-Si* проявление уровней *DL2* и *DL3* носило случайный характер. Доминирующим мелким уровнем являлся *DL4* с параметрами $E_c = 0.22$ эВ, $\sigma_n = 2 \cdot 10^{-15} \text{ см}^2$.

Рис. 3. Распределение центров $DL1$ по глубине планарной структуры детектора на основе $CZ-Si$.

Измерения, выполненные в режиме инжекции дырок, показали заметное уменьшение амплитуды пиков DLTS, связанных с перезарядкой основного уровня $DL1$. Активный захват неосновных носителей центром $DL1$ свидетельствует о большем, чем для электрона, сечении захвата дырки. Следовательно, генерационная активность $DL1$ определяется установленным выше сечением захвата электронов.

Указанные выше результаты характеризуют термические дефекты, возникающие при $T \leq 1000$ °С. Для сравнения и получения более полной картины дополнительно были исследованы два типа детекторов, для которых основное отличие термовоздействий состояло в более высоких температурах окисления (T_{ox}): I тип — $FZ-Si$, $T_{ox} = 1050$ °С; II тип — FZ - и $CZ-Si$, $T_{ox} = 1150$ °С.

Для обоих типов помимо уровня $DL1$ наблюдался ГЦ $DL5$ с параметрами: $E = E_c - 0.27$ эВ, $\sigma_n = 1 \cdot 10^{-17}$ см². Комбинация $DL1 + DL5$ в литературе известна как уровни Caa [6]. Кроме того, для приборов I типа при их значительных площадях (≈ 6 см²) происходило формирование дополнительного широкого пика, соответствующего уровню с параметрами: $E = E_c - 0.8$ эВ, $\sigma_n = 3 \cdot 10^{-12}$ см².

Обсуждение результатов

При анализе полученных результатов основное внимание уделялось глубоким уровням, оказывающим влияние на такие характеристики детекторов, как генерационное время жизни носителей заряда τ_{ef} и обратный ток (объемная

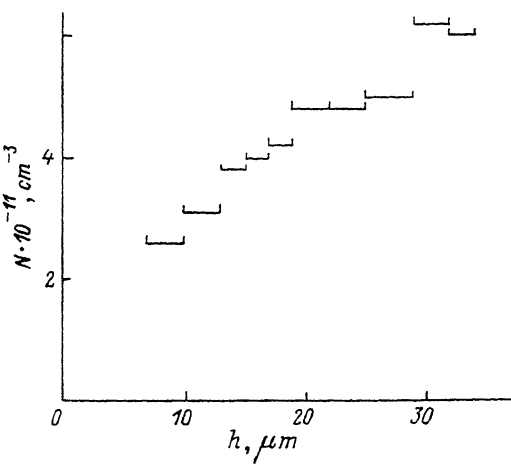
Таблица 2

Основные ГЦ в готовых детекторах

№ структурь	Максимальная темпера- тура воздействия, °С	Тип Si	Концентрация ГЦ, 10^{10} см ⁻³					
			$DL1$	$DL2$	$DL3$	$DL4$	$DL5$	$E_c -$ — 0.8 эВ
1	1000	FZ	$0.1+0.3$	—	—	—	—	—
2	1000 + 1100 (ФО)	FZ	$0.1+0.5$	—	—	—	—	—
3	950 + 1100 (ФО)	CZ	$9+20$	—	—	$15+30$	—	—
4	1050	FZ	5	—	—	—	5	—
4a	1050	FZ	3	—	—	—	$2+3$	$3+9$
5	1150	FZ	10	—	—	—	15	—
5a	1150	CZ	0.8	—	—	—	0.8	—

Примечание. Структуры 4 и 4a отличаются площадью, которая составляет 0.04 и 6.25 см² соответственно.

составляющая) $I_g \sim 1/\tau_{ef}$. К таким уровням следует отнести генерационные центры, расположенные вблизи середины запрещенной зоны или имеющие достаточно большое сечение захвата носителей: $DL1$, $DL2$, $DL3$. Условия возникно-



вения этих уровней отражает табл. 1. Концентрации основных ГЦ в готовых детекторах приведены в табл. 2.

Полученные результаты позволяют проследить за формированием и трансформацией электрически активных центров в высокоомном Si при изменении температуры и длительности воздействия. Возникновение ГЦ в нашем случае не связано с загрязнением объема полупроводника неконтролируемыми примесями. Это подтверждают контрольные эксперименты по одновременной термообработке различных типов Si, в результате которых спектры DLTS для CZ- и FZ-Si существенно различаются. Основные выводы работы, на наш взгляд, состоят в следующем.

1. Для обоих типов исследованных материалов температура вблизи 1000 °C является критической с точки зрения стабильности возникающих центров. Это хорошо прослеживается на примере образования ГЦ *DL1* и *DL2* при термическом окислении и фотонном отжиге FZ-Si (табл. 1). В случае термического окисления изменение доминирующего центра (*DL2* → *DL1*) происходит при увеличении как самой температуры, причем достаточно малом, так и времени воздействия. В варианте фотонного отжига аналогичная трансформация возникает при возрастании длительности воздействия от единиц мс до 1÷2 мин.

2. Формирование структуры дефектов, определяющих электрически активные ГЦ, происходит на стадии термического окисления. Дальнейшие воздействия оказываются «демпфированными» этой стадией и влияют лишь на спектр сравнительно мелких уровней (0.15÷0.3 эВ).

Наиболее ярким примером, свидетельствующим в пользу этого утверждения, является формирование уровня *DL2* в FZ-Si при комбинированном воздействии (TO + ФО), хотя отдельные стадии дают различные уровни (*DL2* при TO и *DL1* при ФО, рис. 1).

3. Вместе с тем структура центра, определяющего *DL1*, является более стабильной при различных термических воздействиях. Поскольку данный уровень характерен для всех исследованных материалов и готовых приборов на их основе, представляется очевидным, что он имеет единую природу независимо от специфики исходного Si и конкретного воздействия. Кроме того, по-видимому, существует связь данного ГЦ и конкурирующего с ним метастабильного уровня *DL2*, который не проявляется в готовых $p^+—n—n^+$ -структурах.

Отличия технологических операций, использованных в нашей работе, от общепринятых (см. [3, 7]) состоят, как отмечалось, в отсутствии специальных длительных геттерирующих режимов, направленных на создание в объеме микродефектов, являющихся стоками неконтролируемым примесей и первичных дефектов.² Трансформация глубоких уровней термодефектов, наблюдаемая нами, может быть объяснена в рамках представлений, развитых в [8–11]. При этом необходимо иметь в виду, что возможны отличия параметров уровней, так как нами проводятся измерения центров, находящихся в области обеднения, когда проявляются генерационные процессы, тогда как в [10, 11] анализируется влияние ГЦ на рекомбинацию носителей.

Формирование основного глубокого уровня *DL1* можно рассматривать согласно модели образования глубокого точечного центра с отрицательной корреляционной энергией, связанного с реконструированным междуузельным атомом Si [9–11]. Возникновение такого дефекта происходит при нарушении sp^3 -гибридизации в упругом поле микродефектов, вводимых в кристалл при термообработках. Энергия активации *DL1* $E = E_c - 0.55$ эВ соответствует энергии ионизации двухэлектронного перехода для центра с отрицательной корреляционной энергией. С данным центром можно также связать ГЦ *DL5*, который устойчиво и в сравнимых с

² Отсутствие геттерирующих режимов позволяет выявить специфику, связанную с исходным материалом, в частности, с наиболее «чистым» FZ-Si.

$DL1$ концентрациях образует при повышении температуры >1000 °C. Глубина залегания $DL5$ $E = E_c - 0.27$ эВ соответствует одноэлектронному переходу.

Наблюдение в спектрах DLTS при повышенных температурах окисления обоих уровней может быть объяснено с учетом различия в локализации двух-электронного и одноэлектронного состояний центра — вблизи узла решетки и в междоузельном положении соответственно. По-видимому, повышение температуры и длительности воздействия способствует смещению реконструированного атома Si в междоузлие.

Большая стабильность в образовании уровня $DL1$ в CZ-Si по сравнению с FZ-Si может быть связана с тем, что в первом благодаря повышенной концентрации кислорода упругие деформационные поля, связанные с кислородными преципитатами, имеют большую напряженность [12]. Это приводит к формированию в CZ-Si ГЦ $DL1$ уже при относительно низких температурах (~ 900 °C).

В [13] аналогичные уровни связываются с пересыщением Si собственными междоузельными атомами при термообработках в окислительной среде ($1000 \div 1250$ °C, 4—16 ч). Это не противоречит сказанному выше, так как наличие неравновесных точечных дефектов способствует возникновению дополнительного напряжения в решетке кристалла и может стимулировать появление ГЦ.

Отметим, что измеренные нами параметры ГЦ $DL1$ и $DL5$ хорошо совпадают также с данными [14, 15], полученными при отжиге высокоомного Si при существенно больших температурах ($1200 \div 1300$ °C).

Влияние газовой атмосферы на концентрацию ГЦ в настоящее время не может быть объяснено однозначно. Однако увеличение в наших экспериментах концентрации ГЦ при обработке в Ag аналогично наблюдаемому в [16] уменьшению сравнительно с другими вариантами отжига времени жизни носителей для слитков трансмутационно-легированного Si. Такое поведение связывалось с формированием рекомбинационных центров микродефектами, возникающими в объеме Si при отжиге.

Наконец, весьма важным представляется вопрос о природе ГЦ $DL2$ и $DL3$ с энергиями активации, близкими к $E_c - 0.4$ эВ, которые возникают при отдельных высокотемпературных воздействиях и аннигилируют в готовых структурах. Отметим, что ГЦ с энергией активации $E_c - 0.45$ эВ, аналогичный $DL2$, наблюдался в [14] при инверсии CZ-Si p -типа в результате образования мелких кислородных термодоноров при $T \approx 450$ °C. Поскольку формирование основного уровня $DL1$ нами связывается с существованием упругих напряжений в объеме и реконструкцией межузельного атома Si, логично связать ГЦ $DL2$ и $DL3$ с дефектами типа оборванных связей, возникающими под действием микродефектов. Такое предположение подкрепляется образованием уровней $DL2$ и $DL3$ в наибольших концентрациях при нестационарном воздействии на кристалл (фотонном отжиге) либо в случае отжига в Ag при 900 °C, когда возникает значительное количество микродефектов.

Ранее формирование CZ-Si уровней с энергией активации $E_c - 0.4$ эВ отмечалось в [8, 10] и связывалось с дефектами типа оборванных связей двух видов: кластерами и квазидиодмерными цепочками. Подобные дефекты возникают при $600 \div 900$ °C на ранней стадии генерации дислокационных петель и (или) формирования кислородных преципитатов. Полученные нами для FZ-Si результаты показывают, что в данном материале такая стадия соответствует более высоким температурам ($900 \div 1000$ °C), после чего метастабильные уровни $DL2$ и $DL3$ трансформируются в устойчивый термодефект $DL1$ типа реконструированного межузельного атома Si. Повышение температуры (>1000 °C) приводит к усложнению спектра ГЦ не только за счет дефектов $DL5$, связанных со смещением атомов Si. Дальнейшая трансформация термодефектов приводит к формированию больших площадях структуры (т. е. при больших термомеханических на-

прожжениях) электрически активных релаксирующих дислокаций [8] с энергией активации E_c —0.8 эВ и большим сечением захвата.

В заключение отметим, что термодефекты, возникающие в условиях пониженных температур окисления и малых длительностей воздействия, не вызывают существенного ухудшения объемных свойств Si (даже без специальных длительных геттерирующих отжигов). В целом термостабильность FZ-Si оказывается выше, и оптимизация технологического цикла данного материала позволяет обеспечить наличие в объеме единственного уровня D_{L1} с концентрацией $< 3 \cdot 10^9 \text{ см}^{-3}$, что определяет значения $\tau_{ef} \geq 20 \text{ мс}$.

СПИСОК ЛИТЕРАТУРЫ

- [1] J. Kemmer. Nucl. Instr. Meth., **169**, 499 (1980).
- [2] Е. М. Вербицкая, В. К. Еремин, А. М. Маляренко, Н. Б. Строкан, В. Л. Суханов, И. Борани, В. Шмидт. ПТЭ, **56** (1991).
- [3] O. Veda, K. Nauka, J. Lagowski, H. C. Gatos. J. Appl. Phys., **60**, 622 (1986).
- [4] A. B. Васильев, С. А. Смагулова, С. С. Шаймееев. ФТП, **17**, 162 (1983).
- [5] В. Н. Абакумов, В. И. Перель, И. Н. Яссивич. ФТП, **12**, 3 (1978).
- [6] C. T. Sah, C. T. Wang. J. Appl. Phys., **46**, 1767 (1976).
- [7] K. Nauka, J. Lagowski, H. C. Gatos, O. Veda. J. Appl. Phys., **60**, 615 (1986).
- [8] K. Sohmalz, F.-G. Kirsoht, K. Tittelbaoh-Helmrich. Phys. St. Sol. (a), **109**, 279 (1988).
- [9] N. T. Bagraev, T. S. Polovtsev, K. Sohmalz. Phys. St. Sol. (a), **113**, 233 (1989).
- [10] Н. Т. Баграев, Л. Е. Клячкин, А. М. Маляренко, И. С. Половцев, В. Л. Суханов. ФТП, **24**, 1563 (1990).
- [11] N. T. Bagraev, V. V. Vysotskaya, S. N. Gorin, Yu. A. Sidorov. J. Phys. III, **1**, 733 (1991).
- [12] К. Рейви. Дефекты и примеси в полупроводниковом кремнии. М. (1984).
- [13] Ю. В. Выжигин, Н. А. Соболев, В. Н. Грессеров, Е. И. Шек. ФТП, **25**, 1324 (1991).
- [14] Е. В. Астрова, В. Б. Воронков, В. А. Козлов, А. А. Лебедев, В. Экке. Емкостная спектроскопия дефектов термообработки в кремнии. Препринт № 1161 ФТИ им. А. Ф. Иоффе РАН, Л. (1987).
- [15] N. A. Sobolev, Yu. V. Vyzhigin, V. V. Eliseev, V. A. Kostyley, V. M. Likunova, E. I. Scheck. Sol. St. Phenom., **6-7**, 181 (1989).
- [16] N. A. Sobolev, V. E. Chelnokov. In: Proc. II Int. Autumn Meeting «Gettinger and defect engineering in the semiconductor technology» (ed. by H. Richter) (1987).

Редактор Л. В. Шаронова
